

舒灿伟, 曾 蕊, 杨 媚, 等. 香蕉枯萎病菌 4 个生理小种核糖体 DNA 内转录间隔区的 RFLP 分析 [J]. 华南农业大学学报, 2017, 38(3):52-56.

香蕉枯萎病菌 4 个生理小种核糖体 DNA 内转录间隔区的 RFLP 分析

舒灿伟,曾 蕊,杨 媚,周而勋

(华南农业大学 农学院/广东省微生物信号与作物病害防控重点实验室,广东 广州 510642)

摘要:【目的】明确香蕉枯萎病菌 Fusarium oxysporum f. sp. cubense 4 个生理小种的系统发育关系。【方法】利用 PCR 扩增该病菌 4 个生理小种的核糖体 DNA 内转录间隔区(Internal transcribed spacer, ITS),利用 AIu I、Hpa II 和 Taq I 3 种限制性内切酶对这些小种的 ITS 产物进行 RFLP 分析。【结果】PCR 扩增结果表明:来自 4 个生理小种的 8 个菌株均可扩增得到 568 bp 的 ITS 单一片段,但这些生理小种间的片段没有明显的多态性;对这些生理小种 ITS 产物进行 RFLP 分析发现,不同生理小种之间的差异很小。【结论】PCR-RFLP 技术不适用香蕉枯萎病菌生理小种的分析鉴定。

关键词:香蕉枯萎病菌;生理小种;内部转录间隔区;聚合酶链式反应;限制性片段长度多态性中图分类号;S436.67 文献标志码:A 文章编号:1001-411X(2017)03-0052-05

RFLP analysis of the ribosomal DNA ITS regions of four physiological races of Fusarium oxysporum f. sp. cubense

SHU Canwei, ZENG Rui, YANG Mei, ZHOU Erxun

(College of Agriculture, South China Agricultural University/Guangdong Province Key Laboratory of Microbial Signals and Disease Control, Guangzhou 510642, China)

Abstract: [Objective] To clarify the phylogenetic relationship of four physiological races of Fusarium oxysporum f. sp. cubense (Foc), the causal agent of fusarial wilt of banana. [Method] The ribosomal DNA internal transcribed spacer (ITS) regions of the four physiological races of Foc were first amplified using PCR technique, and then RFLP analysis of the ITS products of these races were performed using three restriction endonucleases including AIu I, Hpa II and Taq I. [Result] A single 568 bp ITS fragment was amplified specifically from eight strains belonging to four races, respectively, but there was no obvious polymorphism among these races. RFLP analysis of the ITS products from these races showed that the differences among races were very small. [Conclusion] PCR-RFLP technique was unsuitable to be used as the identification basis for the physiological races of Foc.

Key words: Fusarium oxysporum f. sp. cubense; physiological race; internal transcribed spacer (ITS); polymerase chain reaction (PCR); restriction fragment length polymorphism (RFLP)

收稿日期:2016-08-04 优先出版时间:2017-04-12

优先出版网址; http://kns.cnki.net/kcms/detail/44.1110.s.20170412.1417.008.html

作者简介:舒灿伟(1985—),男,副教授,博士,E-mail:shucanwei@scau.edu.cn;通信作者:周而勋(1963—),男,教授,博士,

E-mail: exzhou@ scau. edu. cn

基金项目:国家现代农业(香蕉)产业技术体系建设专项(CARS-32)

香蕉枯萎病是由尖镰孢古巴专化型 Fusarium oxysporum f. sp. cubense 引起的香蕉毁灭性病害^[1],在亚洲、非洲和澳洲等香蕉产区均有分布,给全球的香蕉产业造成严重的经济损失。据报道,香蕉枯萎病菌有4个生理小种,不同的生理小种侵染的香蕉品种及所造成的病害程度不同,分布区域也不同^[2]。我国目前存在的1号和4号生理小种危害性最大。1号生理小种最易侵染大蜜啥(Gros Michel)、Apple和Silk等香蕉品系,而4号生理小种毁灭性最大,能侵染大蜜啥、矮香蕉和Cavendish等香蕉品系^[3]。2号和3号生理小种在我国尚未发现,2号生理小种在中美洲侵染三倍体杂种煮食蕉和某些Jamaica四倍体等,3号生理小种被报道只危害芭蕉科的野生羯尾蕉 Heliconia spp. ^[4]。

目前对香蕉枯萎病菌 4 个生理小种分子鉴定的报道 较少。应用核糖体 DNA(Ribosomal DNA,rDNA)ITS 序列的保守性鉴定菌种是植物病原菌分子鉴定中较常用的方法^[5-8]。基于 DNA 限制性片段长度多态性(Restriction fragment length polymorphism,RFLP)的遗传标记技术目前已成为对生物物种及种以下单元分类的常用方法^[5,9-12]。

本研究利用真菌通用引物 ITS4/ITS5 对香蕉枯萎病菌不同生理小种的 ITS 序列进行扩增,并进行RFLP分析,旨在寻找香蕉枯萎病菌不同生理小种ITS 序列的差异,阐明该方法是否可用于区分香蕉枯萎病菌的不同生理小种。

1 材料与方法

1.1 材料

1号生理小种 WG02 菌株、2号生理小种 WG03 菌株、3号生理小种 WG04 菌株、4号生理小种 WG05 菌株由澳大利亚 Bentley 博士惠贈。4号生理小种 Z13和 Z16 菌株,1号生理小种 Z14和 Z15 菌株,由华南农业大学植物病理系研究室姜子德教授提供。

限制性内切酶 Alu I、Hpa II 和 Taq I 购于宝生物工程(大连)有限公司。

1.2 方法

1.2.1 真菌总 DNA 的提取及 ITS 序列的扩增 提取以上 4 个生理小种 8 个菌株的基因组 DNA,具体方法参照 OMEGA 公司的真菌 DNA 提取试剂盒说明书。以香蕉枯萎病菌 4 个生理小种 8 个菌株的基因组 DNA 为模板,采用 ITS4 (5'-TCCTCCGCTTATT-GATATGC-3') 和 ITS5 (5'-GGAAGTAAAAGTCGTAA-CAAGG-3') 引物 PCR,扩增体系如下: $10 \times$ 缓冲液 2.5 μL,2.5 mmol·L $^{-1}$ dNTP 2 μL,5 μmol·L $^{-1}$ 引物各 1 μL,5 U·μL $^{-1}$ Taq 酶 0.2 μL,模板 DNA 约 30 ng,ddH $_2$ O 17. 5 μL。 PCR 扩增程序为:95 ℃ 预变性 3 min,94 ℃变性 45 s,56 ℃ 复性 45 s,72 ℃ 延伸

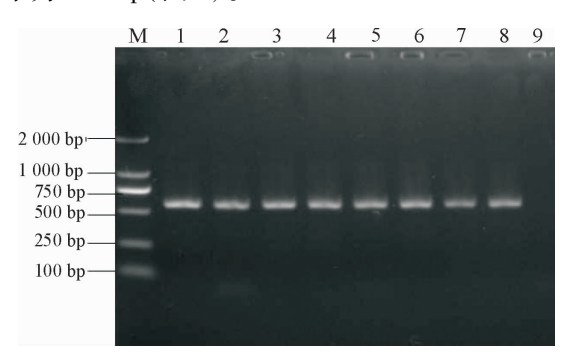
1.5 min,30 个循环; 72 ℃延伸 10 min。反应结束后取 5 μ L PCR 产物电泳。将阳性 PCR 产物纯化、连接和克隆,挑选出阳性转化子,送北京奥科基因公司测序,每个菌株重复测序 3 次。PCR 产物的测序结果用 DNA-MAN 软件和 BLAST 进行序列比对和同源性分析。

1.2.2 ITS-RFLP 分析 将 15 μ L ITS-PCR 产物, 0.5 μ L 内切酶(5 U),2 μ L 酶切缓冲液和 2.5 μ L ddH₂O 依次加入 0.2 mL PCR 管内,短暂离心混匀后,放入所需温度的水浴锅中反应 4 h,其中 Alu I、 Hpa II 限制性内切酶反应温度为 37 ℃, Taq I 限制性内切酶反应温度为 65 ℃, 酶切产物通过电泳检测。

2 结果与分析

2.1 不同生理小种 ITS-PCR 扩增

利用 ITS4/ITS5 和优化的扩增条件,对香蕉枯萎病菌 4 个生理小种共 8 个菌株的 rDNA-ITS 区进行了扩增。PCR 扩增结果表明,8 个菌株扩增出的特异性条带大小一致,位于 500 ~ 700 bp,经测序确定其大小为 568 bp(图 1)。



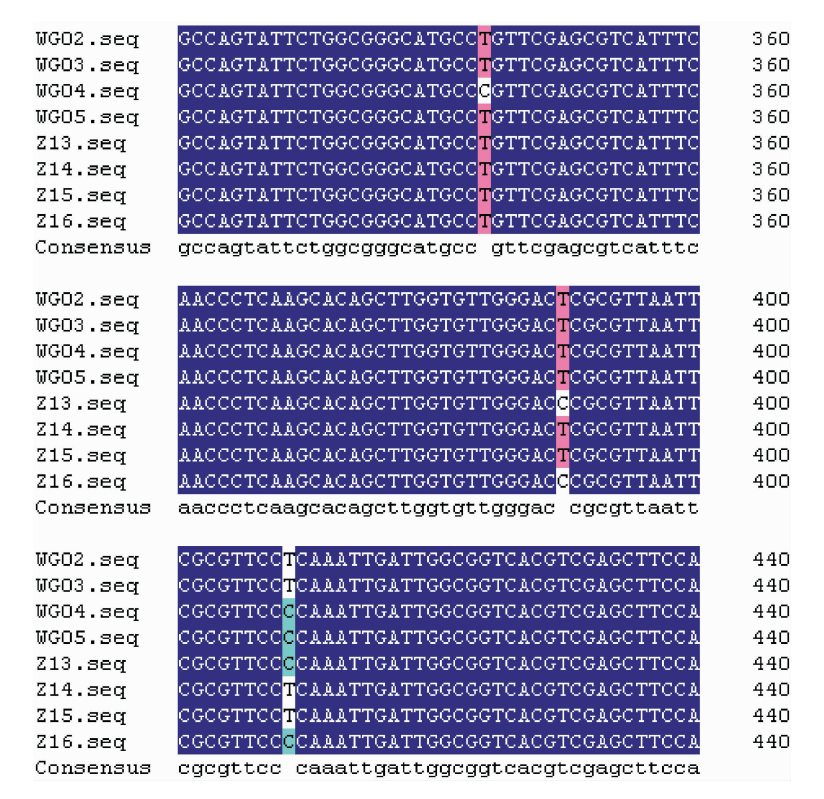
<code>M:DL2000 DNA Marker;1:WG02;2:WG03;3:WG04;4:WG05;5:Z13;6:Z14;7:Z15;8:Z16;9:ddH $_2O_\circ$ </code>

图 1 香蕉枯萎病菌 4 个生理小种的 ITS-PCR 扩增产物 Fig. 1 ITS-PCR products of four physiological races of Fusarium oxysporum f. sp. cubense

2.2 不同生理小种 ITS 的序列分析

对 4 个生理小种 8 个菌株的 ITS 区段进行克隆并测序,结果均得到 568 bp 的片段。用 DNAMAN 对 8 个菌株的 ITS 全长序列进行比对,结果(图 2)发现,8 个菌株只在第 344、390 和 409 个碱基处存在差异:在 344 bp 处,除 3 号生理小种(WG04)的碱基为 C 外,其他的均为 T;在 390 bp 处,除 4 号生理小种(Z13、Z16)的碱基为 C 外,其余的均为 T;在 409 bp 处,1 号和 2 号生理小种的为 T,3 号和 4 号生理小种的为 C。用 DNAMAN 对 4 个生理小种 8 个菌株进行序列比对,相似性高达 99. 85%。国内、外的 1 号生理小种 ITS 序列基本相同;除 WG05 外,国内、外的 4 号生理小种的 ITS 序列基本相同。WG02 和 WG03 ITS 序列完全相同。与 GenBank 中的已知序列进行相似性比对,发现其与 GenBank 中的尖镰孢 F. oxys-

http://xuebao.scau.edu.cn



WG02、WG03、WG04、WG05 分别为国外的 1~4 号生理小种菌株; Z13 和 Z16 为国内的 4 号生理小种菌株; Z14 和 Z15 为国内的 1 号生理小种菌株。

图 2 香蕉枯萎病菌 4 个生理小种的 ITS 序列比对

Fig. 2 ITS sequences alignment of four physiological races of Fusarium oxysporum f. sp. cubense

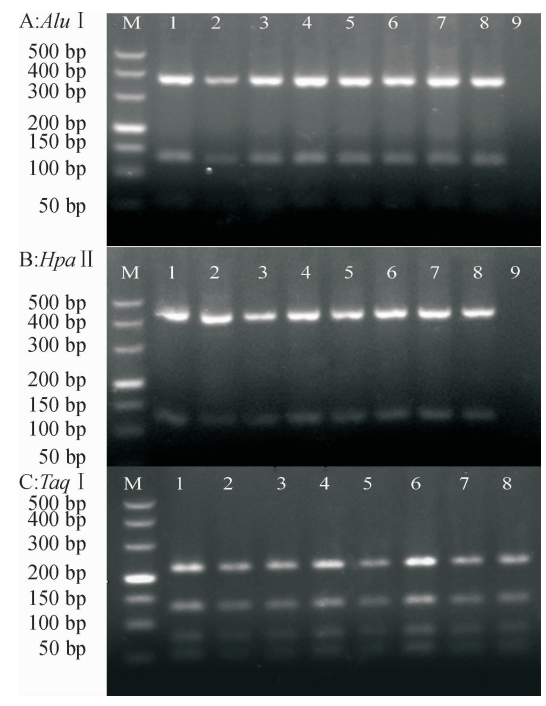
porum 的序列相似性高达 100%, 表明 ITS 序列可以作为鉴定尖镰孢 F. oxysporum 的依据。

2.3 不同生理小种 ITS-RFLP 分析

3种限制性内切酶(Alu I、Hpa II、Taq I)对 ITS 扩增产物的酶切图谱见图 3。由图 3A 可看出,Alu I对供试的 4 个生理小种 8 个菌株均有 2 个共同的酶切位点,供试菌株只有 1 种酶切图谱,每个菌株的ITS 片段被酶切为大约 380、130 和 50 bp 的 3 个片段,50 bp 左右的片段很模糊甚至不容易观察到。由图 3B 可看出,Hpa II 对供试菌株的酶切位点较少,且比较保守;4 个生理小种 8 个菌株均有 1 个共同的酶切位点,每个菌株的ITS 片段被酶切为大约 430 和130 bp 的 2 个片段;供试菌株只有 1 种酶切图谱。由图 3C 可以看出,Taq I 对供试的 8 个菌株的酶切位点较多,均有 3 个共同的酶切位点,每个菌株的ITS 片段被酶切为大约 240、140、90 和 60 bp 的 4 个片段;供试菌株只有 1 种酶切图谱。

从上述 ITS 酶切图谱的分析中可知,3 种内切酶 对香蕉枯萎病菌 4 个生理小种 8 个菌株所产生的酶 切带型一致,并不能将香蕉枯萎病菌的不同生理小 种区分开来,表明该病菌的种内 rDNA ITS 区段比较 保守,遗传多样性有限。

http://xuebao.scau.edu.cn



M: DL500 Marker; 1: WG02; 2: WG03; 3: WG04; 4: WG05; 5: Z13; 6:Z14;7:Z15;8:Z16;9:ddH $_2$ O $_{\circ}$

图 3 香蕉枯萎病菌 4 个生理小种 ITS-PCR 产物的酶切图谱 Fig. 3 Restriction patterns of ITS-PCR products of four physiological races of Fusarium oxysporum f. sp. cubense

3 讨论与结论

rDNA 已被广泛应用于植物病原菌亲缘关系以及致病性相关的研究。ITS 区段在核基因组中是高度保守的,可用与它们序列互补的通用引物对 ITS 区进行 PCR 扩增、序列对比^[8,13] 以及 RFLP 分析^[11,14-15]。Mills 等^[16]用 RFLP 区分不同地理来源和不同果树寄主的胶孢炭疽病菌 Colletotrichum gloeosporioides,但不能区分不同地理来源芒果上的胶孢炭疽病菌的菌株。张瑞萍等^[17]通过 rDNA-ITS 序列分析法成功鉴定出大豆根腐病菌 F. oxysporum 的菌株。李志芳等^[6]用 ITS-RFLP 快速鉴定了棉花上的 6 种主要病原真菌,其 ITS-RFLP 产物大小各异、具有多态性,参考标准电子图谱可准确鉴定其种类。ITS-RFLP 技术在担子菌的鉴定方面也有很多成功的例子^[18-20],表明该技术适用性强。

本研究利用真菌通用引物 ITS4/ITS5 对香蕉枯萎病菌 4 个生理小种 8 个菌株的 ITS 进行了克隆和序列分析以及 ITS-RFLP 比较研究。结果表明,4 个生理小种菌株的 ITS 序列只有 3 个碱基的差异,序列相似性高达 99.85%,与 GenBank 中尖镰孢菊花专化型 F. oxysporum f. sp. chrysanthemi (编号DQ452449.1)、尖镰孢黄瓜专化型 F. oxysporum f. sp. cucumerinum(编号DQ452450.1)和一品冠(仙客来)枯萎病菌 F. oxysporum f. sp. cyclaminis strain ATCC 16061 (编号 DQ452451.1)的序列相似性为99%以上,表明尖镰孢不同专化型在 rDNA-ITS 序列上差异性较小,因而 rDNA-ITS 区段序列在一定程度上不适合于种内专化型及生理小种的鉴定。

通过序列比对,发现香蕉枯萎病菌 1 号生理小种的 3 个菌株(WG02,Z14 和 Z15)的 rDNA-ITS 区段序列完全一致,而 4 号生理小种的 3 个菌株(WG05,Z13 和 Z16)的 rDNA-ITS 区段序列存在着一定程度的差异,可以推断现阶段香蕉枯萎病菌 4 号生理小种的变异频率比 1 号生理小种快,这与王文华^[7]的研究结果一致,其原因可能是地域差异导致的生理分化。

通过比对香蕉枯萎病菌 4 个生理小种 8 个供试菌株的序列,还发现 4 号生理小种(Z13、Z16)在 390 bp 与 409 bp 位点的碱基为 C,而 1 号生理小种在此位点的碱基为 T。笔者推测,4 号生理小种在 rDNA-ITS 区段序列这 2 个位点上存在着专一性,为通过rDNA-ITS 序列比对鉴定 4 号和 1 号生理小种提供了一定的理论依据。

本研究采用3种不同的限制性内切酶进行了 ITS-RFLP分析,均未能将4个生理小种的8个菌株 区分开,再次证实了其 ITS 序列的保守性。曾莉莎 等[21] 通过 ITS 遗传进化树将 18 个香蕉枯萎病菌分 为4个分支,其中1号生理小种、2号生理小种及非 致病性香蕉枯萎病菌共享1个分支,3号生理小种和 4号生理小种也共享1个分支,提出了ITS不能代表 香蕉枯萎病菌的种间亲缘关系,不适合做系统发育 分析。本研究对 ITS 片段进行 RFLP 分析,结果获得 的酶切谱带很单一,在一定程度上可能是因为内切 酶种类太少,或者是因为单酶切的局限性等。尽管 单个内切酶在一定程度上可以区分一些种和小种, 如 Alu I 能够将大豆灰斑病菌 Cercospora sojina Hara[22]与其他种分开,但是仅有的单个酶对菌株进行 鉴定是不可靠的,因为种内该位点可能存在多态性, 酶切位点的突变也可能带来错误的结果。因此,为 了更好地鉴定和监测香蕉枯萎病菌的生理小种,应 结合 4 个生理小种的致病性试验[7],同时选择 TEF- I_{α} 、IGS、histone H3 等基因^[21]以及复合限制性内切酶 进行 RFLP 分析,以获得更为有力的证据和更为准确 的鉴定结果。

参考文献:

- [1] GHAG S B, SHEKHAWAT U K S, GANAPATHI T R. Fusarium wilt of banana: Biology, epidemiology and management [J]. Int J Pest Manage, 2015, 61(3): 250-263.
- [2] 杨旸. 香蕉枯萎病菌两个生理小种 fgb 和 fmk 基因的克隆与序列分析[D]. 广州: 华南农业大学, 2010.
- [3] 吕顺,曾莉莎,刘文清,等. 大蕉枯萎病病原菌鉴定及 *TEF*-1α 序列分析[J]. 植物病理学报,2014,44(4): 337-348.
- [4] 刘景梅,王璧生,陈霞,等. 广东香蕉枯萎病菌生理小种 RAPD 技术的建立[J]. 广东农业科学,2004(4):43-45.
- [5] FOULY H M. ITS ribosomal DNA phylogeny of Gaeumannomyces graminis[J]. Arab J Biotech, 2002, 7(1): 45-52.
- [6] 李志芳, 冯自力, 赵丽红, 等. 棉花主要真菌病害病原菌 ITS-RFLP 快速鉴定方法[J]. 中国棉花, 2013, 40 (12): 13-16.
- [7] 王文华. 香蕉枯萎镰刀菌 1、4 号小种 rDNA-ITS 序列分析及 4 号小种遗传转化体系建立[D]. 海口:海南大学,2007.
- [8] 王洪凯, 张天宇, 张猛. 应用 5.8S rDNA 及 ITS 区序列 分析链格孢种级分类[J]. 菌物学报, 2001, 20(2): 168-173.

http://xuebao.scau.edu.cn

- [9] BURGERMEISTER W, BRAASCH H, METGE K, et al. ITS-RFLP analysis, an efficient tool for differentiation of Bursaphelenchus species[J]. Nematology, 2009, 11(5): 649-668.
- [10] MARTÍNEZ-CULEBRAS P V, RAMÓN D. An ITS-RFLP method to identify black Aspergillus isolates responsible for OTA contamination in grapes and wine [J]. Int J Food Microbiol, 2007, 113(2): 147-153.
- [11] VIAUD M, PASQUIER A, BRYGOO Y. Diversity of soil fungi studied by PCR-RFLP of ITS [J]. Mycol Res, 2000, 104(9): 1027-1032.
- [12] ERLAND S, HENRION B, MARTIN F, et al. Identification of the ectomycorrhizal basidiomycete *Tylospora fibrillosa* Donk by RFLP analysis of the PCR-amplified ITS and IGS regions of ribosomal DNA[J]. New Phytol, 1994, 126(3): 525-532.
- [13] 陈永青,姜子德,戚佩坤. RAPD 分析与 ITS 序列分析 在拟茎点霉分类鉴定上的应用[J]. 菌物学报,2002,21(1);39-46.
- [14] GARDES M, BRUNS T D. ITS-RFLP matching for identification of fungi[J]. Methods Mol Biol, 1996, 50: 177-186.
- [15] PANDEY A K, REDDY M S, SURYANARAYANAN T S.
 ITS-RFLP and ITS sequence analysis of a foliar endophytic
 Phyllosticta from different tropical trees [J]. Mycol Res,

- 2003, 107(4): 439-444.
- [16] MILLS P R, SREENIVASAPRASAD S, BROWN A E. Detection and differentiation of Collectrichum gloeosporioides isolates using PCR [J]. FEMS Microbiol Lett, 1992, 98(1/2/3): 137-143.
- [17] 张瑞萍, 王家军, 魏崃, 等. 一株大豆腐霉菌(PSHH1) rDNA的 ITS 序列鉴定[J]. 大豆科学, 2015, 34(5): 867-873.
- [18] 岳万松. 云南牛肝菌的分子鉴定及其多糖抗氧化性研究[D]. 昆明:云南民族大学,2015.
- [19] 刘新锐,谢宝贵,熊芳,等. 高温平菇种质资源的 ITS-RFLP 分析[J]. 热带作物学报,2010,31(9):1509-1513.
- [20] 张文娟, 康帅, 魏锋, 等. 基于 ITS 序列分析鉴别冬虫 夏草与古尼虫草[J]. 药物分析杂志, 2015(9): 1551-1555.
- [21] 曾莉莎,吕顺,刘文清,等. 基于多基因序列分析对尖 孢镰孢菌古巴专化型(香蕉枯萎病菌)生理小种的鉴定[J]. 菌物学报,2014,33(4):867-882.
- [22] 张俊华, 张明, 韩英鹏, 等. 大豆灰斑病菌生理小种 PCR-RFLP 分子检测[J]. 中国油料作物学报, 2010, 32(1): 128-131.

【责任编辑 霍 欢】